

- Геологический факультет МГУ им. М.В.Ломоносова
- Кафедра геофизики

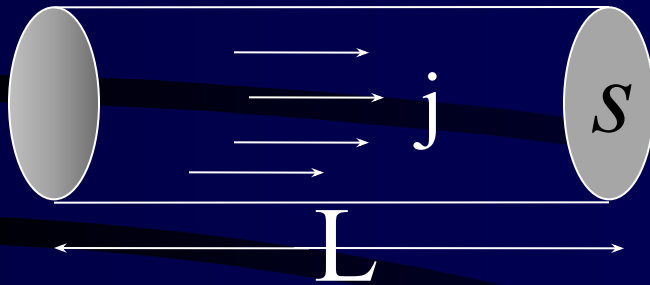
- Лекция 4.

Профессор И.Н.Модин

# ЗАКОНЫ ПОСТОЯННОГО ТОКА

# Постоянный ток: Закон Ома

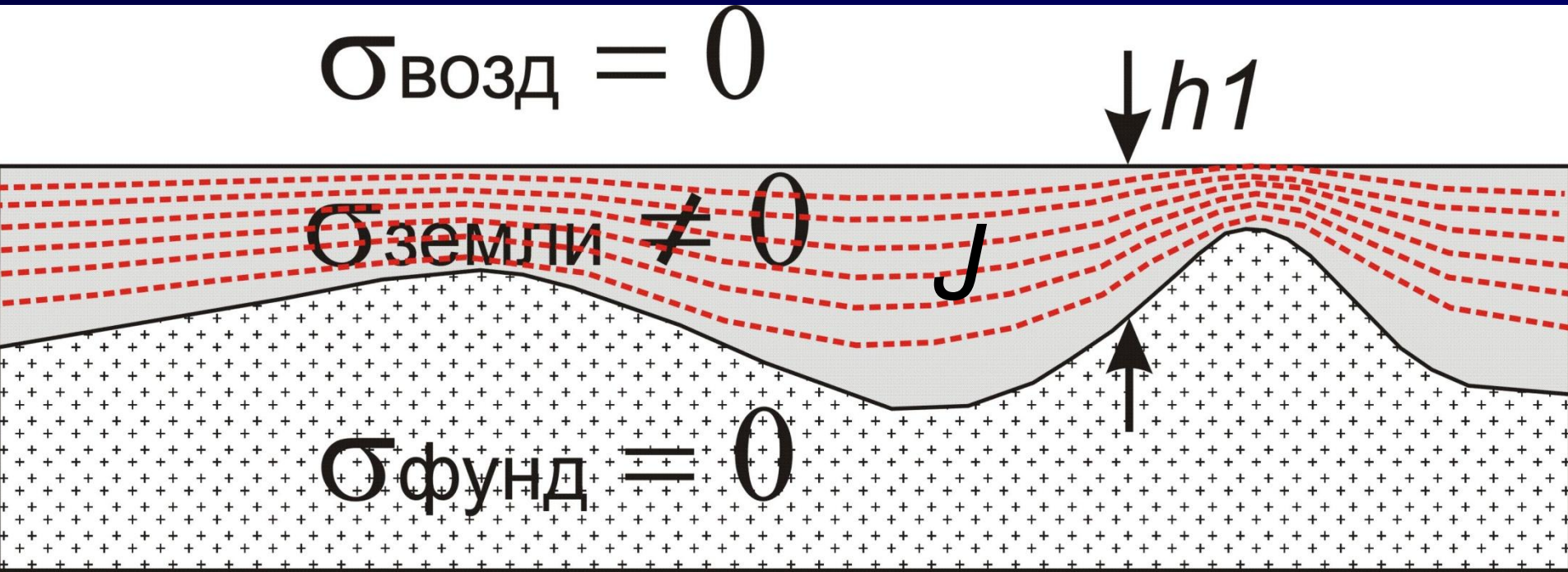
- ЗО в дифференциальной форме  $\vec{j} = \sigma \cdot \vec{E}$ , где  $\sigma = 1/\rho$ ;  $\rho$  - удельное электрическое сопротивление



$$I = j s = \sigma E s = \frac{\Delta U}{\rho L} s = \frac{\Delta U}{\frac{\rho L}{s}} = \frac{\Delta U}{R}$$

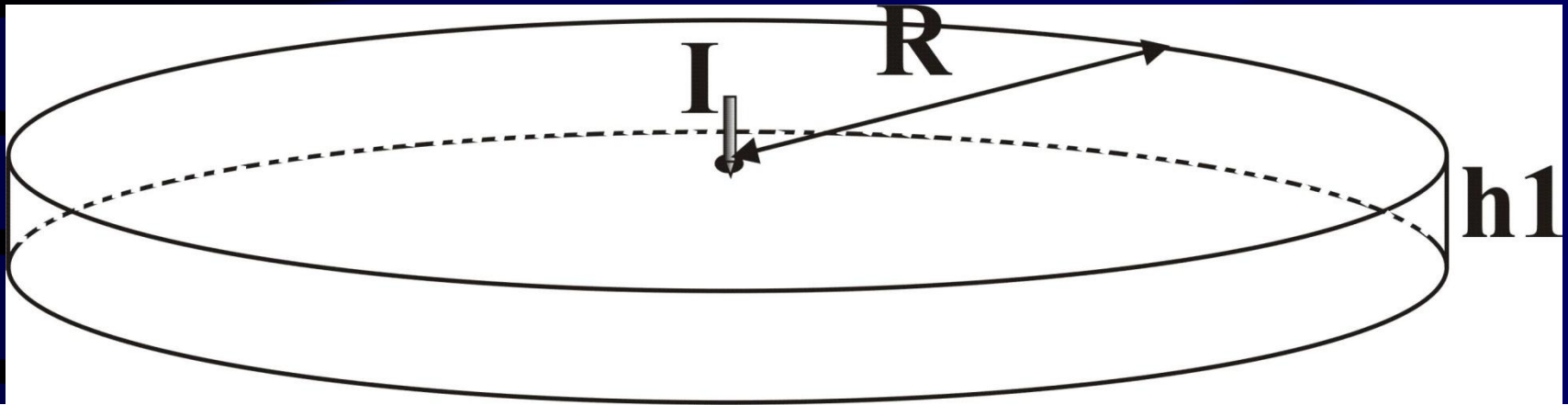
$IR = \Delta U$  - закон Ома в интегральной форме  
(или закон Ома для участка цепи)

# Пример 1: электрическое поле в верхнем слое



$$j = \frac{J}{h_1} = \sigma_0 E \quad E = \rho_0 \frac{J}{h_1}$$

# Пример 2: Растекание тока в верхнем слое



Электрическое поле цилиндра

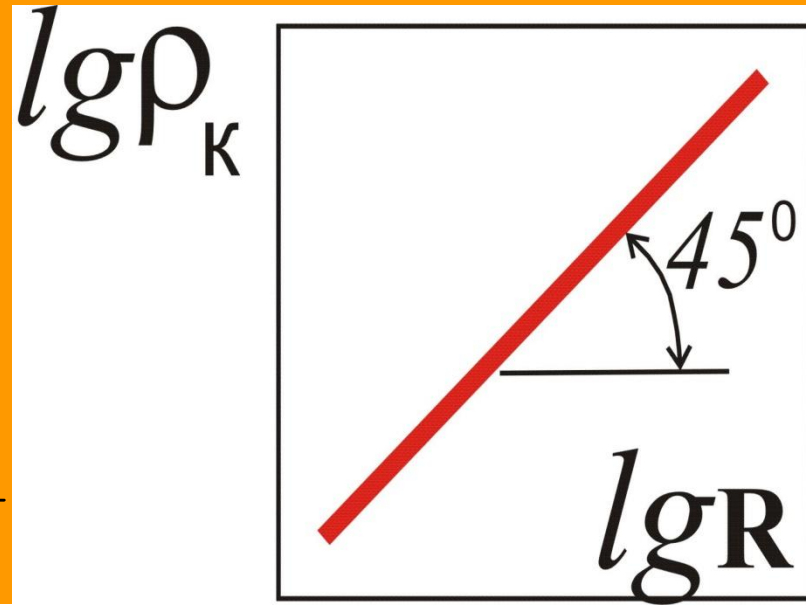
$$E = j\rho_1 = \rho_1 \frac{J}{s} = \rho_1 \frac{J}{2\pi R h_1}$$

Нормальное электрическое поле

$$E = j_0 \rho_1 = \rho_1 \frac{J}{2\pi R^2}$$

Кажущееся

сопротивление  $\rho_k = \rho_1 \frac{E}{E_0} = \rho_1 \frac{R}{h_1}$



# Вывод уравнения Лапласа

- Используем 1-ое уравнение Максвелла
- **div j = 0** – закон Кирхгофа  
**div rot A = 0** всегда

$$\int_V \operatorname{div} j \, dv = \oint_S j \, ds = I_S = 0$$

- **div j = 0** путем последовательных подстановок при  $\sigma_x = \sigma_y = \sigma_z$  превращается в  **$\Delta U = 0$**

$$\operatorname{Rot} H = j$$

$$\operatorname{div} \operatorname{Rot} H = \operatorname{div} j = 0$$

$$\frac{\partial}{\partial x} j_x + \frac{\partial}{\partial y} j_y + \frac{\partial}{\partial z} j_z = 0$$

$$\rho \left( \frac{\partial E_x}{\partial x} + \frac{\partial E_y}{\partial y} + \frac{\partial E_z}{\partial z} \right) = 0$$

$$\frac{\partial^2 U}{\partial x^2} + \frac{\partial^2 U}{\partial y^2} + \frac{\partial^2 U}{\partial z^2} = 0$$

$$\Delta U = 0$$

# Граничные условия

$$U_1 = U_2$$

$$j_n^1 = j_n^2 \quad \frac{1}{\rho_1} E_n^1 = \frac{1}{\rho_2} E_n^2 \quad \frac{1}{\rho_1} \frac{\partial U_1}{\partial n} = \frac{1}{\rho_2} \frac{\partial U_2}{\partial n}$$

$$E_\tau^1 = E_\tau^2$$

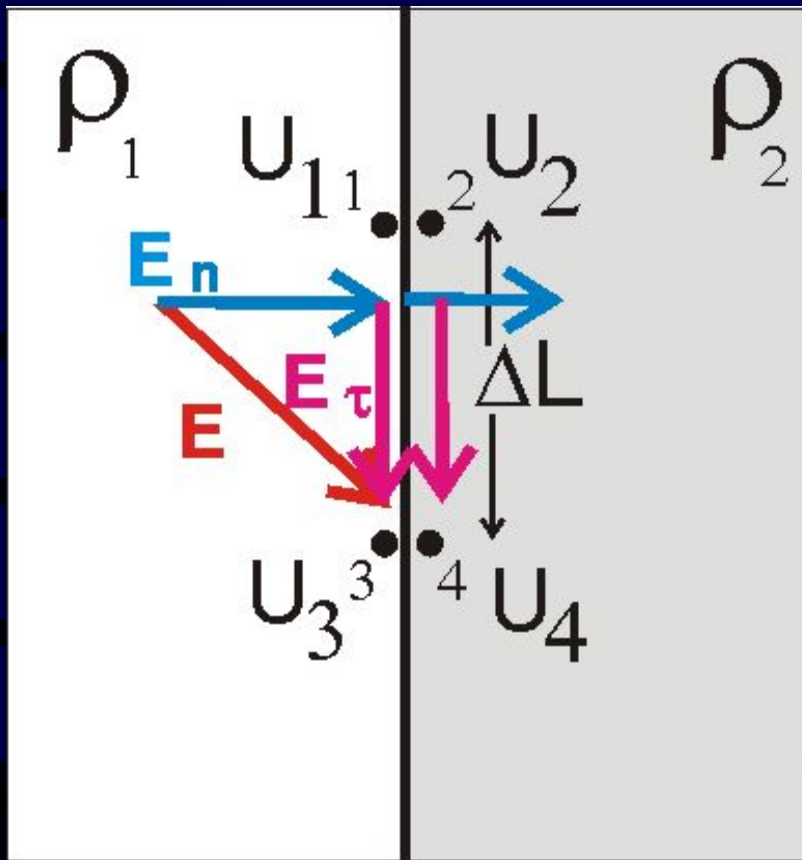
1-ое ГУ

2-ое ГУ

3-ье ГУ

- 1- Электрические потенциалы равны на границе двух сред
- 2- Нормальные компоненты плотности тока равны
- 3- Тангенциальные компоненты электрического поля равны

# Замечание 1. 3-е граничное условие



$$\begin{aligned} U_1 &= U_2 \\ U_3 &= U_4 \end{aligned}$$


---


$$U_1 - U_3 = U_2 - U_4$$

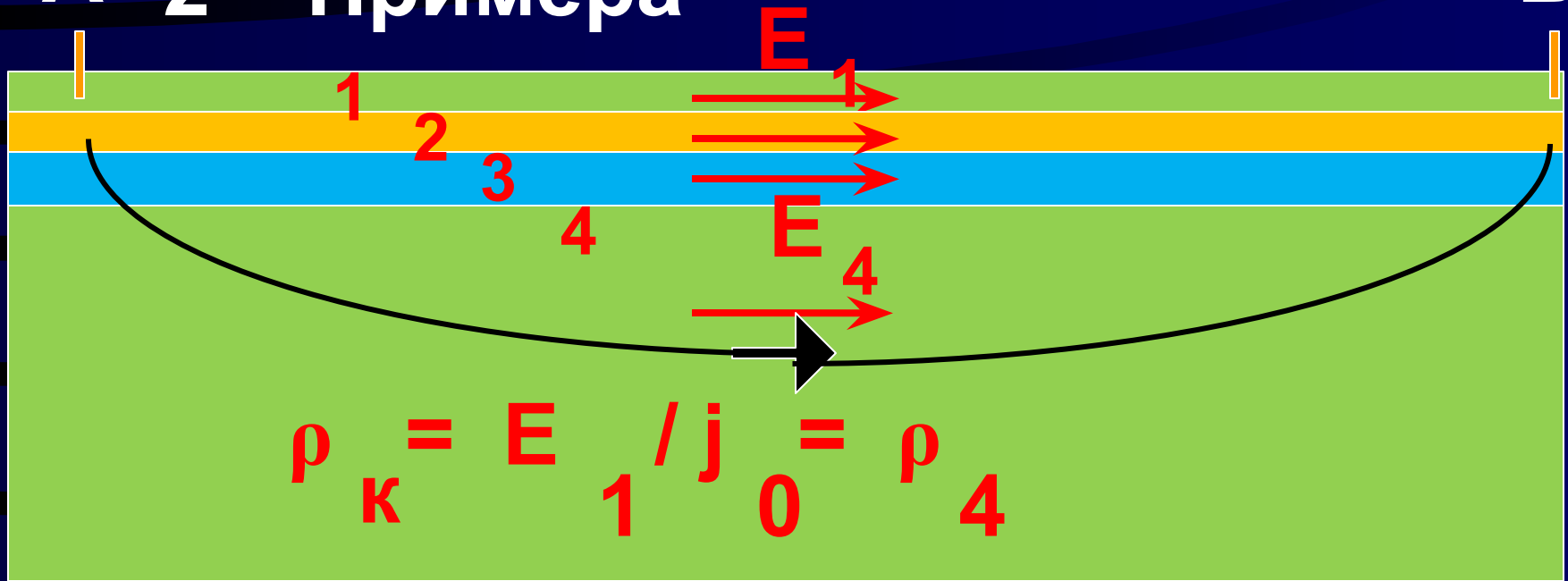
$$\Delta U_{13} = \Delta U_{24}$$

$$E_\tau^1 = \frac{\Delta U_{13}}{\Delta L} = \frac{\Delta U_{24}}{\Delta L} = E_\tau^2$$

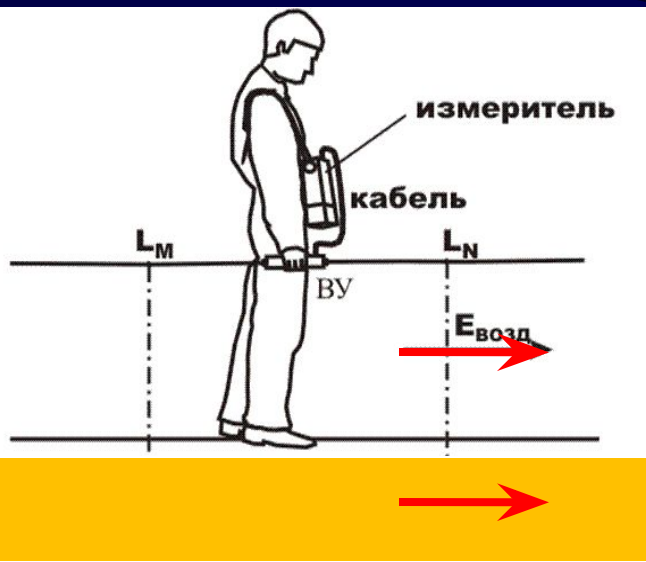
$$E_\tau^1 = E_\tau^2$$

Тангенциальная компонента электрического поля пересекает границы без изменения амплитуды

# А 2 Примера В

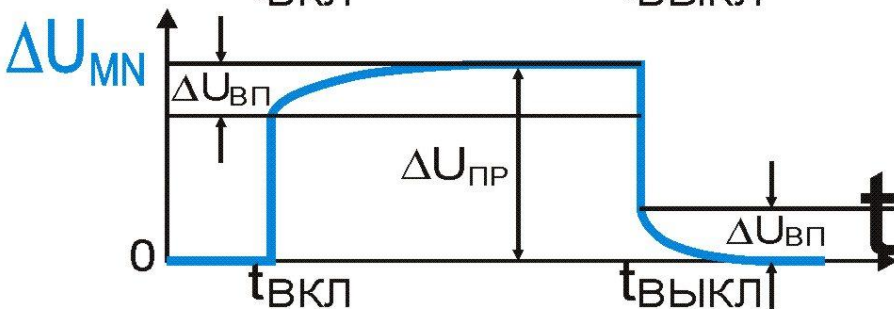
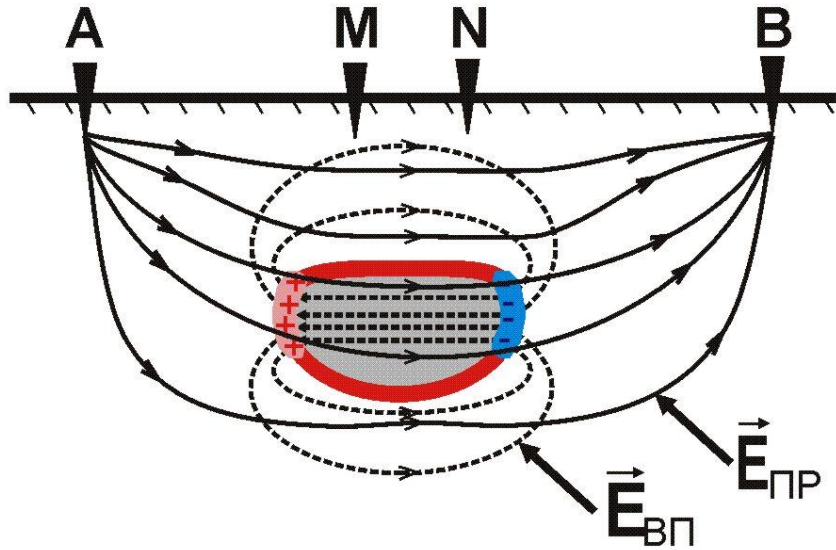


1- электрическое поле передается через разрез наверх

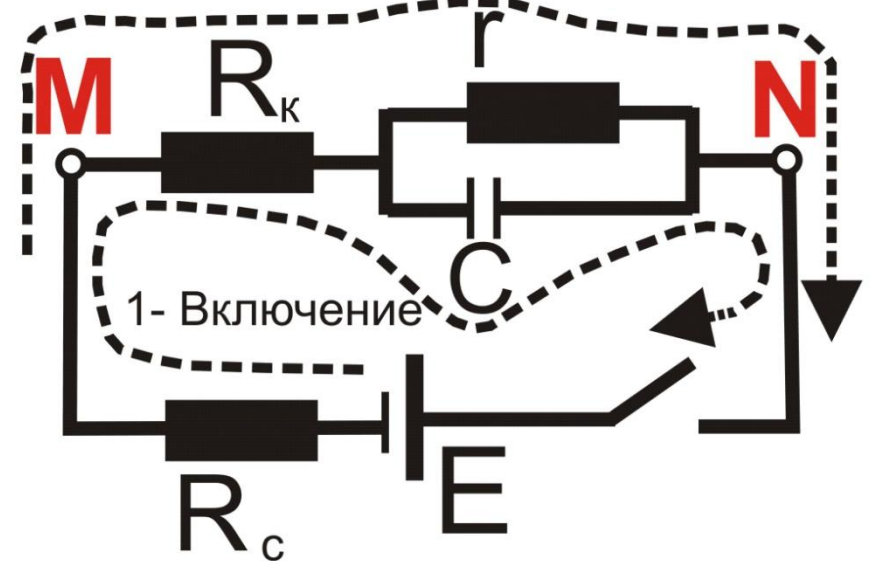


2 – можно измерять электрическое поле в воздухе

# Замечание 2. Если среда поляризуется,



2- Конец зарядки



$$R_c > R_k \gg r$$

$$\Delta U_1 = E \cdot R_k / (R_k + R_c)$$

$$\Delta U_2 = E \cdot (R_k + r) / (R_k + R_c)$$

*то меняется сопротивление среды*

# Граничные условия с ВП

$$\eta = \frac{E_{\text{вн}}}{E_{\text{прон}}} \cdot 100\% = \frac{E_{\text{прон}} - E_0}{E_{\text{прон}}} \cdot 100\%$$

$$\eta = \frac{j\rho^* - j\rho}{j\rho^*} \quad \rho^* = \frac{\rho}{1 - \eta}$$

Первый тип граничных условий при  
объемной поляризации

$$U_1^* = U_2^* \quad \frac{1 - \eta_1}{\rho_1} \frac{\partial U_1^*}{\partial n} = \frac{1 - \eta_2}{\rho_2} \frac{\partial U_2^*}{\partial n}$$

# Граничные условия с ВП

Второй тип граничных условий при поверхностной поляризации - на поверхности проводников в результате протекания тока образуются мощные электрические заряды :

$$U_1^* - U_2^* = \lambda \frac{\partial U}{\partial n} \quad \text{1-ое граничное условие}$$

$$\frac{1 - \eta_1}{\rho_1} \frac{\partial U_1^*}{\partial n} = \frac{1 - \eta_2}{\rho_2} \frac{\partial U_2^*}{\partial n} \quad \text{2-ое граничное условие}$$

# Поле на «бесконечности» при $r \rightarrow \infty$

$$r \rightarrow \infty \quad z \rightarrow \infty \quad E \rightarrow 0$$

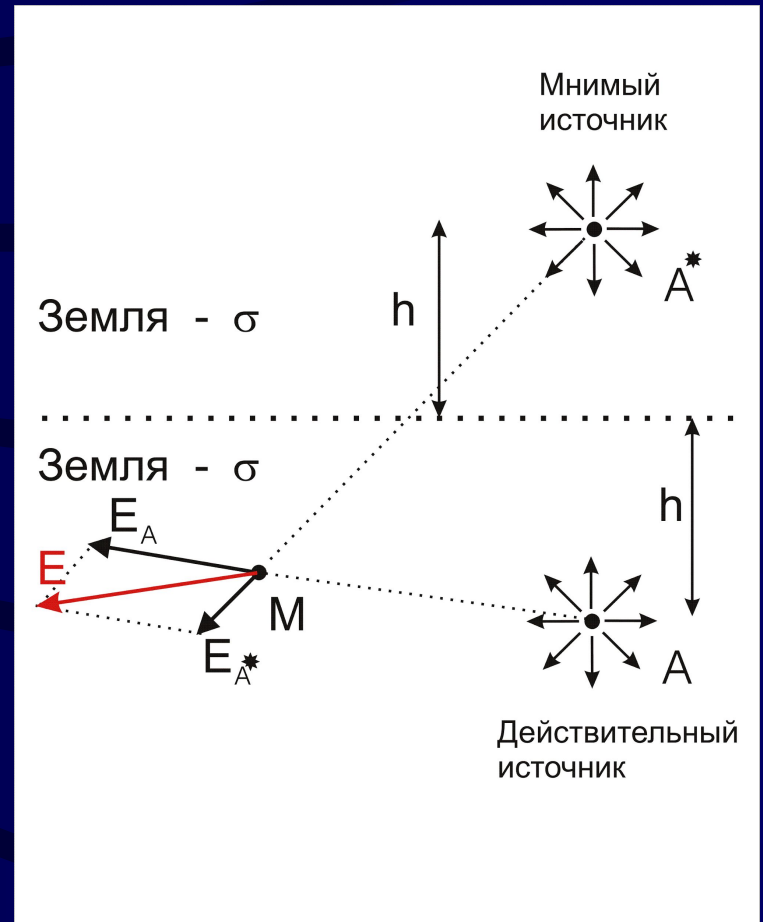
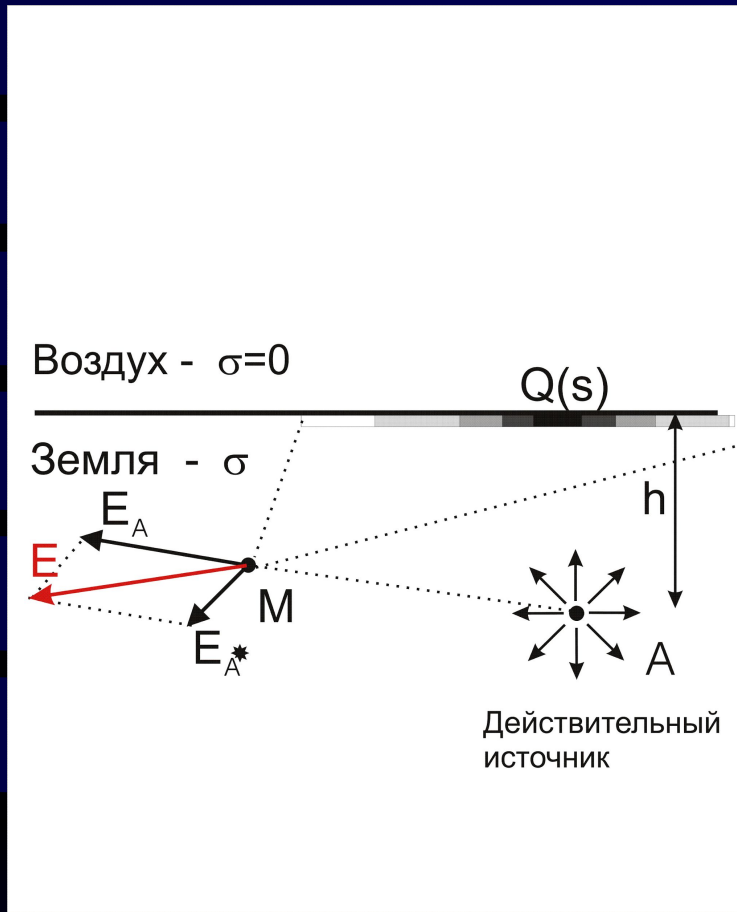
$$r \rightarrow \infty \quad z \rightarrow \infty \quad U \rightarrow 0$$

Электрическое поле и его потенциал стремятся к нулю на больших расстояниях от источника поля

## *З а м е ч а н и я:*

- В природе источники тока **всегда** бывают в паре « + - » и это обеспечивает убывание поля для любых типов источников не медленнее, чем  $1/r$  или  $\ln(Ra/Rb)$
- Все источники физически имеют **конечные размеры** и на «бесконечности» всегда превращаются в точку

# Влияние поверхности Земли



Влияние зарядов, индуцированных на поверхности Земли, можно заменить мнимым источником, расположенным в однородном проводящем пространстве

$$U = U_A + U_{A^*} = I \rho / ((x_m - x_a)^2 + (z_m - z_a)^2)^{1/2} + I \rho / ((x_m - x_a)^2 + (z_m + z_a)^2)^{1/2}$$

# Принцип взаимности

$$U_{am} / I_a = U_{ma} / I_m$$



1. Использование полевых инверсных установок приводит к автоматизации процесса сбора данных и дает возможность использовать многоканальные установки. Полезный сигнал не меняется, а пропорционально длине линии MN возрастают помехи.
2. Принцип взаимности активно используется при решении прямых задач, когда при одной поляризации поля можно сразу получить множество решений для целого набора разносов.

# Теорема суперпозиции

$$U = U_a + U_b + U_c + \dots$$

$$E = E_a + E_b + E_c + \dots$$

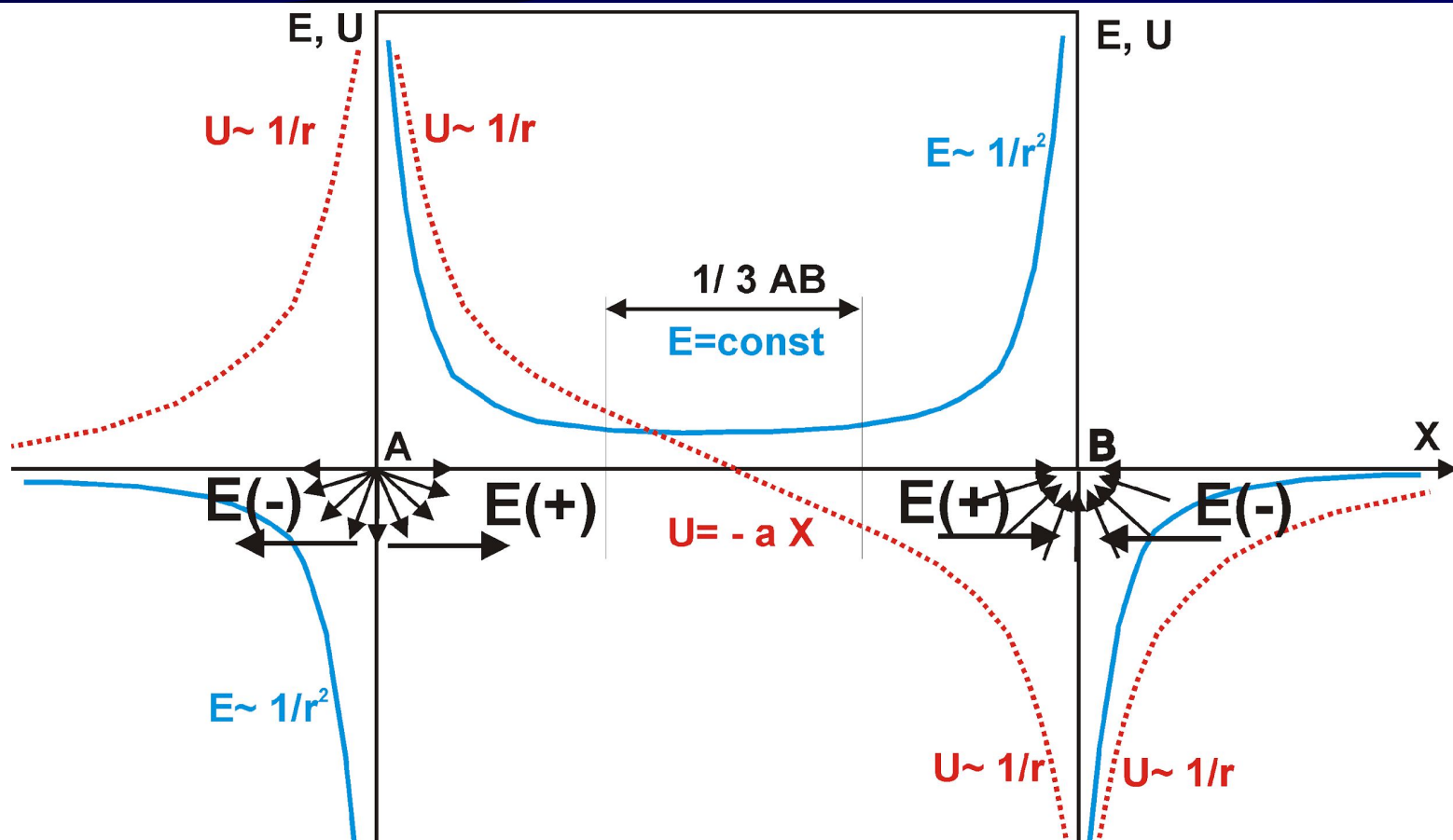
$$j = j_a + j_b + j_c + \dots$$

Теорема суперпозиции активно используется при расчетах полей от разного рода источников: искусственных, естественных, вторичных, ВП и т.д.

Теорема позволяет всегда использовать соотношение для любой среды

$$\rho_{\kappa}^{AmnB} = \frac{\rho^{Amn} + \rho^{mnB}}{2}$$

# Е и U вблизи двух электродов



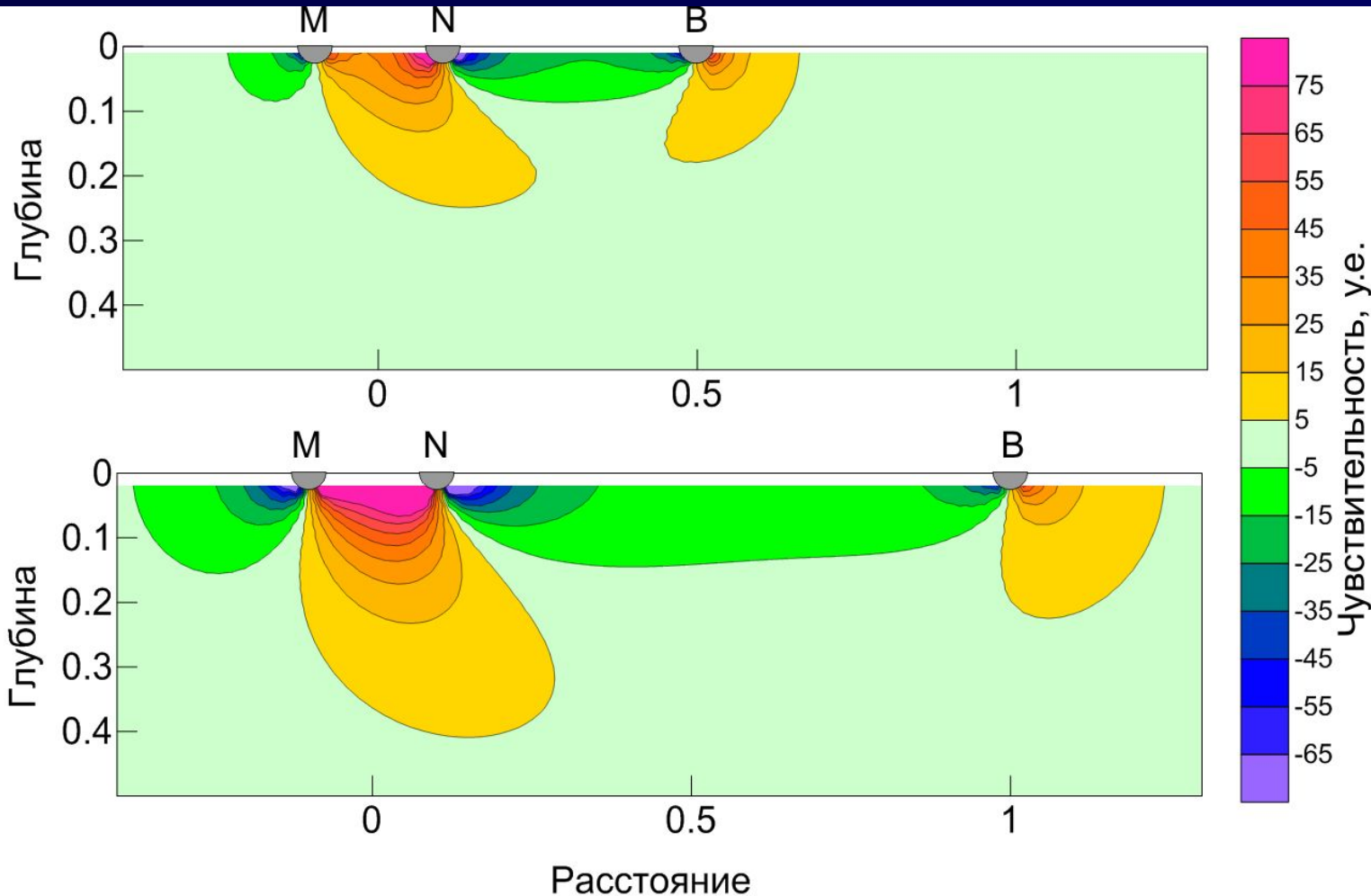
$$U_{ab} = \frac{J\rho}{2\pi} \left( \frac{1}{R_{am}} - \frac{1}{R_{bm}} \right)$$

$$E_{ab} = -\frac{\partial U_{ab}}{\partial x}$$

$$E_{ab} = \frac{J\rho}{2\pi} \left( \frac{x_m - x_a}{(R_{am})^3} - \frac{x_m - x_b}{(R_{bm})^3} \right)$$

- Вблизи электродов  $E$  убывает как  $1/r^2$
- Вблизи электродов  $U$  убывает как  $1/r$
- Вне установки поле меняется как поле диполя
- В центре установки поле однородное не равно 0

# Разрезы чувствительности для трехэлектродной установки

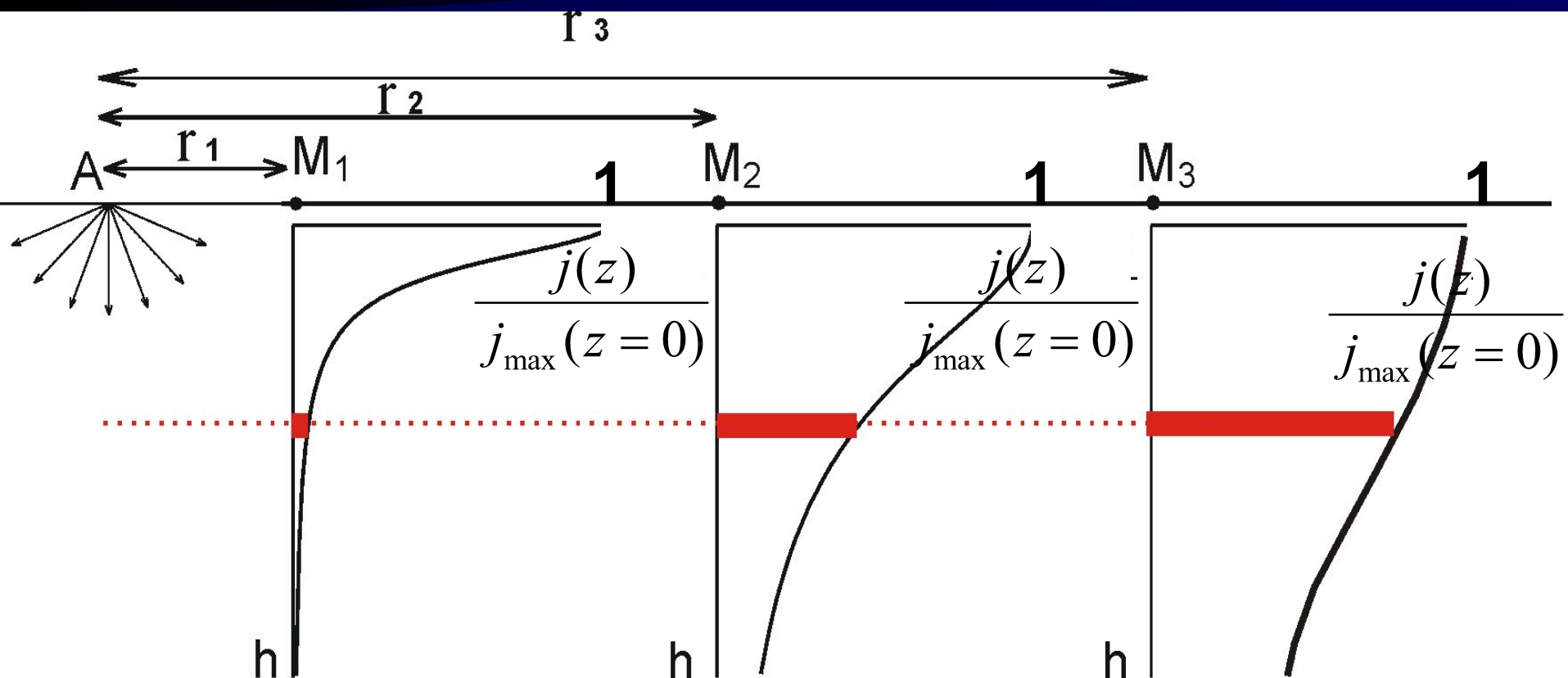


**OB=0.5**

**OB=1.0**

При увеличении разноса в два раза глубинность исследования возрастает в два раза

# Зависимость глубины исследования от действующего разноса



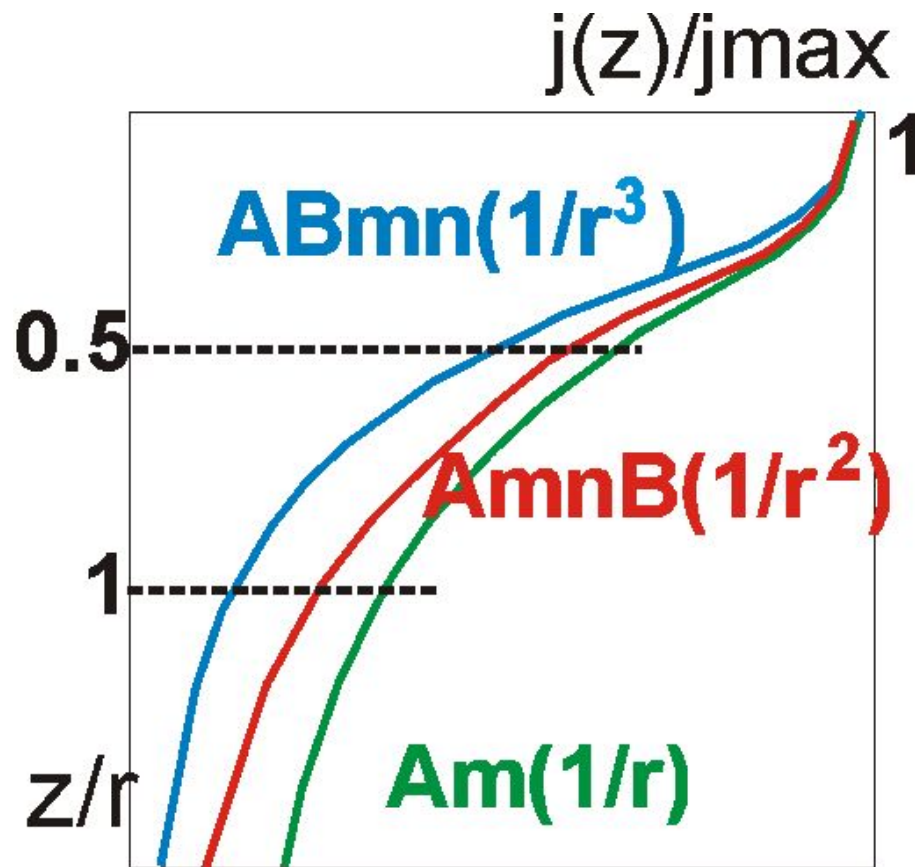
При увеличении расстояния до точки измерения от питающего электрода меняется нормированная плотность тока в разрезе

$$j(z) = \frac{J}{2\pi} \frac{1}{r^2 + z^2}$$

$$j_{\max}(z=0) = \frac{J}{2\pi} \frac{1}{r^2}$$

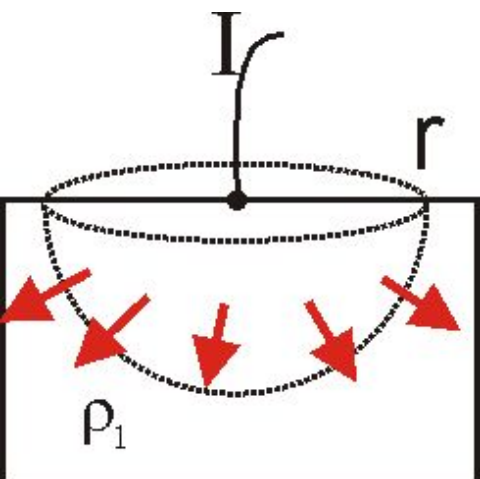
$$\frac{j(z)}{j_{\max}(z=0)} = \frac{1}{1 + \frac{z^2}{r^2}}$$

# Сравнительная глубинность установок



Чем быстрее затухает поле тем меньше глубинность

# Нормальное поле и потенциал точечного источника над однородным полупространством



$$\Delta U = 0 \quad U_{r \rightarrow \infty} \Rightarrow 0$$

$$\Delta U = \frac{1}{R^2} \frac{\partial}{\partial R} \left( R^2 \frac{\partial U}{\partial R} \right) = 0$$

$$R^2 \frac{\partial U}{\partial R} = -C_0 \quad E = -\frac{\partial U}{\partial R} = \frac{C_0}{R^2}$$

$$U = \frac{C_0}{R} + C \quad \text{Т.к. } U_{r \rightarrow \infty} \Rightarrow 0 \quad \text{То } C=0$$

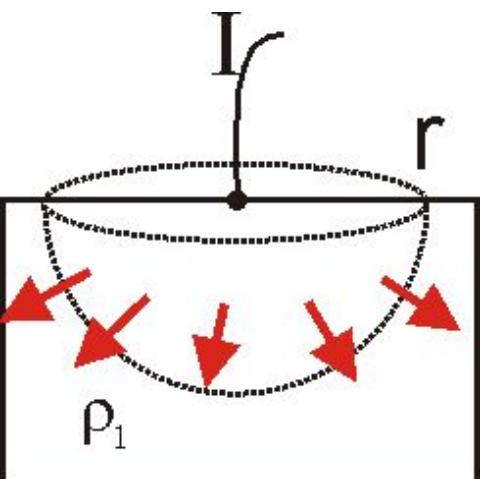
Чему равно  $C_0$  ?

Должен  
выполняться  
Закон Кирхгофа

$$\oint_S j ds = j 2\pi R^2 = I$$

$$j = \frac{I}{2\pi R^2}$$

# Нормальное поле и потенциал точечного источника над однородным полупространством



Должен выполняться Закон Ома

$$E = j\rho = \frac{I\rho}{2\pi R^2}$$

Отсюда следует, что  $C_0 = \frac{I\rho}{2\pi}$

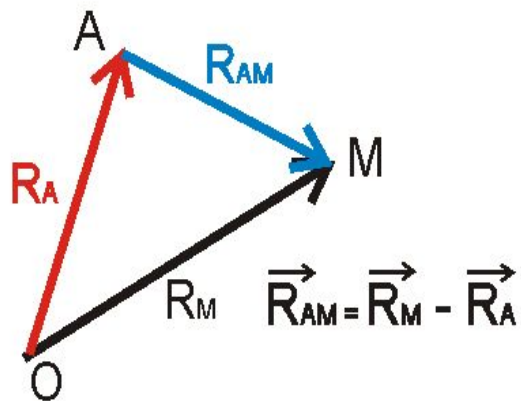
Потенциал и поле

$$U = \frac{I\rho}{2\pi R} \quad E = \frac{I\rho}{2\pi R^3} R$$

Потенциал двух источников

$$U = U_a + U_b = \frac{J\rho}{2\pi} \left( \frac{1}{R_{am}} - \frac{1}{R_{bm}} \right)$$

# Нормальное поле и потенциал точечного источника над однородным полупространством



## Поле двух источников

$$\vec{E} = \vec{E}_a + \vec{E}_b = \frac{J\rho}{2\pi} \left( \frac{\vec{R}_{am}}{(R_{am})^3} - \frac{\vec{R}_{bm}}{(R_{bm})^3} \right)$$

$$R_{am} = \sqrt{(x_m - x_a)^2 + (y_m - y_a)^2}$$

$$R_{bm} = \sqrt{(x_m - x_b)^2 + (y_m - y_b)^2}$$

$$\vec{R}_{am} = (x_m - x_a) \vec{1}_x + (y_m - y_a) \vec{1}_y$$

$$\vec{R}_{bm} = (x_m - x_b) \vec{1}_x + (y_m - y_b) \vec{1}_y$$

**Z=0**

$$E_l = \vec{E} \cdot \vec{1}_l = \frac{J\rho}{2\pi} \left( \frac{\vec{R}_{am}}{(R_{am})^3} - \frac{\vec{R}_{bm}}{(R_{bm})^3} \right) \cdot (l_x \vec{1}_x + l_y \vec{1}_y)$$

# Нормальное поле и потенциал точечного источника над однородным полупространством

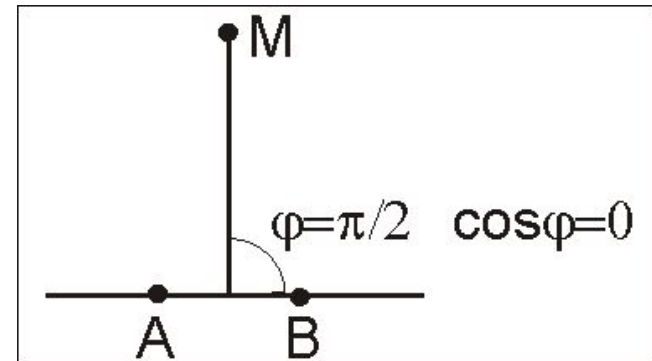
Проекция поля двух источников на направление

$$E_l = E \cdot \mathbf{1}_l = \frac{J\rho}{2\pi} \left( \frac{(x_m - x_a) \cdot lx + (y_m - x_a) \cdot ly}{(Ram)^3} - \frac{(x_m - x_b) \cdot lx + (y_m - x_b) \cdot ly}{(Rbm)^3} \right)$$

Потенциал диполя

$$U = \frac{J\rho}{2\pi} \left( \frac{1}{Ra} - \frac{1}{Rb} \right) = \frac{J\rho (Rb - Ra)}{2\pi R^2} \quad Rb - Ra = AB \text{ — длина диполя}$$

$$U = \frac{J\rho AB \cdot \cos \varphi}{2\pi R^2}$$



Очевидно, что

$$E_r = -\frac{\partial U}{\partial R} = \frac{J\rho}{2\pi} \frac{2AB \cdot \cos \varphi}{R^3} \quad E_\varphi = -\frac{1}{R} \frac{\partial U}{\partial \varphi} = \frac{J\rho}{2\pi} \frac{AB \cdot \sin \varphi}{R^3} \quad \mathbf{8}$$